

بررسی ضریب نفوذ مؤثر قندهای احیاءکننده و سینتیک تغییرات بافت خلال سیب‌زمینی طی آنزیم‌بری در آب داغ

حامد بیکی¹ - ناصر همدی^{2*} - جلال پور تقی³

تاریخ دریافت: 1395/02/17

تاریخ پذیرش: 1395/08/01

چکیده

ضریب نفوذ مؤثر قندهای احیاءکننده با و بدون در نظر گرفتن اثر تولید آن‌ها و همچنین سینتیک تغییرات بافت طی آنزیم‌بری خلال سیب‌زمینی در آب داغ در محدوده دمایی 50 تا 90°C مورد مطالعه قرار گرفت. تجزیه و تحلیل داده‌ها با استفاده از نرم‌افزار SAS و در قالب طرح‌های فاکتوریل و کاملا تصادفی انجام شد. مقایسه میانگین داده‌ها به روش حداقل تفاوت معنی‌داری (LSD) و آزمون اثر متقابل تیمارها به روش LS means در سطح اطمینان 95% صورت گرفت. نتایج بررسی‌ها نشان داد که افزایش دمای آنزیم‌بری به‌طور معنی‌دار ($P < 0/05$) سبب افزایش ضریب نفوذ مؤثر قندهای احیاء می‌شود. در نظر گرفتن اثر تولید قندهای احیاء سبب افزایش معنی‌دار ($P < 0/05$) ضریب نفوذ مؤثر آن‌ها گردید که بیشترین مقدار (30/63%) این افزایش در دمای 50 درجه سانتی‌گراد مشاهده شد. جهت مدل‌سازی انتقال جرم (قند احیاء) طی آنزیم‌بری، یک مدل عددی سه بعدی با ضریب نفوذ مؤثر ثابت بر اساس حل قانون دوم فیک در نرم‌افزار MATLAB توسعه داده شد. مدل عددی ارائه شده انطباق بالایی با داده‌های آزمایشگاهی نشان داد. افزایش دما و زمان آنزیم‌بری از سوی دیگر به‌طور معنی‌دار ($P < 0/05$) سبب کاهش سفتی بافت خلال‌های سیب‌زمینی شد. برای توصیف تغییرات سفتی بافت طی آنزیم‌بری، مدل‌های سینتیکی متفاوتی مورد بررسی قرار گرفت. نتایج نشان داد که مدل سینتیکی درجه اول با اثر محدودکنندگی محصول، بیشترین انطباق را با داده‌های آزمایشگاهی مربوط به کاهش سفتی بافت خلال داراست.

واژه‌های کلیدی: ضریب نفوذ مؤثر، تولید قند احیاء، سفتی بافت، مدل عددی، مدل سینتیکی.

مقدمه

آنزیم‌بری، پخت و سرخ کردن می‌باشند (Moyano *et al.*, 2007). آنزیم‌بری فرآیندی است که در آن میوه و سبزی به‌منظور غیرفعال شدن آنزیم‌ها، هوازدایی و اصلاح بافت، حفظ رنگ، طعم و ارزش غذایی قبل از انجماد، کنسرو کردن، خشک کردن یا سرخ کردن حرارت داده می‌شوند (Goncalves *et al.*, 2010). در صنعت معمولا از آب داغ و بخار برای آنزیم‌بری استفاده می‌شود. اخیرا از تکنیک پرتودهی مادون قرمز نیز جهت آنزیم‌بری خلال سیب‌زمینی به‌منظور کاهش جذب روغن در محصول نهایی استفاده شده است (Bingol *et al.*, 2014). اگرچه آنزیم‌بری یک عملیات ساده به نظر می‌رسد اما انتقال حرارت در یک بستر سیال محصول و اثرات آن بر ویژگی‌های کیفی، مدل‌سازی مکانیسم‌های درگیر را بسیار مشکل می‌سازد. شرایط فراوری معمولا براساس غیرفعال شدن آنزیم‌ها تنظیم می‌گردد اما پارامترهای کیفی دیگر از قبیل رنگ و بافت نیز بایستی در نظر گرفته شوند (Zhiqiang Liu *et al.*, 2007). آنزیم‌بری قبل از سرخ کردن سبب بهبود بافت و رنگ می‌شود و در برخی موارد به‌واسطه ژلاتیناسیون نشاسته سطحی می‌تواند جذب روغن را کاهش

سیب‌زمینی با تولید جهانی بیش از 325 میلیون تن در سال، محصول غیر دانه‌ای شماره یک جهان است. کشورهای چین، روسیه، هند، ایالات متحده آمریکا و اکراین تولیدکنندگان پیشرو سیب‌زمینی هستند (Bingol *et al.*, 2014). خلال سیب‌زمینی سرخ شده با توجه به خصوصیات طعمی و بافتی ویژه بیشترین میزان تولید را در بین محصولات فراوری شده سیب‌زمینی دارد (Van Loon *et al.*, 2005). تیمار حرارتی سیب‌زمینی سبب ایجاد تغییرات شیمیایی، فیزیکی و ساختاری در آن می‌گردد که دامنه این تغییرات بستگی به دما و زمان فرایند حرارتی دارد. تیمارهای حرارتی سیب‌زمینی شامل

1 و 2 - به‌ترتیب کارشناس‌ارشد و دانشیار، گروه علوم و مهندسی صنایع غذایی، دانشکده کشاورزی، دانشگاه صنعتی اصفهان.

3 - دانش‌آموخته کارشناسی، گروه علوم و مهندسی صنایع غذایی، دانشکده کشاورزی، دانشگاه فردوسی مشهد

* - نویسنده مسئول (Email: hamdami@cc.iut.ac.ir)

DOI: 10.22067/iftstr.v1395i0.55744

توصیف تغییرات بافت طی فرآیندهای حرارتی برخی از محصولات سیب‌زمینی پیشنهاد شده است (Moyano et al., 2007).

رنگ سیب‌زمینی سرخ شده در اثر انجام واکنش میلارد و تشکیل آکریل آمید در محصول می‌باشد (Mottram et al., 2002; Stadler et al., 2002). آکریل آمید در اثر واکنش میلارد بین سوبستراهای قند احیاء‌کننده و آسپارژین موجود در سیب‌زمینی طی سرخ کردن تشکیل می‌شود و سرطان‌زایی آن در موش به اثبات رسیده است. میزان این سوبستراها را می‌توان از طریق آنزیم‌بری سیب‌زمینی در آب داغ کاهش داد (Pedreschi et al., 2004). نتایج تحقیقات نشان داده است که کاهش مقدار قندهای احیاء قبل از سرخ کردن، یک عامل مؤثر جهت کاهش مقدار آکریل آمید در خلال سیب‌زمینی سرخ شده است (Sanny et al., 2012). انتقال جرم در فرآیندهای صنایع غذایی اهمیت بسیاری دارد و شامل انتقال رطوبت، نفوذ (انتشار) مواد محلول و ترکیبات عطری و طعمی می‌باشد (Welti-changes et al., 2003). خروج قندهای احیاء از بافت سبزیجات طی آنزیم‌بری بر اساس پدیده نفوذ صورت می‌گیرد (Kaymak et al., 1994). Garrote و همکاران (1984) با در نظر گرفتن هندسه تیغه (اسلب) نامحدود برای ورقه‌های سیب‌زمینی، ضریب نفوذ مؤثر گلوکز را طی آنزیم‌بری در محدوده دمایی 85-65 درجه سانتی گراد بر اساس حل قانون دوم فیک اندازه‌گیری کردند. در مطالعه دیگری، سینتیک خروج قندهای احیاء طی آنزیم‌بری ورقه‌های سیب‌زمینی در محدوده دمایی 90-60 درجه سانتی گراد مورد بررسی قرار گرفته و یک مدل تک بعدی بر اساس حل قانون دوم فیک جهت توصیف خروج قندهای احیاء ارائه شده است (Pedreschi et al., 2009).

در مطالعات پیشین در زمینه تغییرات میزان قندهای احیاء‌کننده طی آنزیم‌بری سیب‌زمینی، مشخص شده است که در کنار انتقال جرم به داخل آب بلانچر، احتمالاً به دلیل هیدرولیز آنزیمی نشاسته، قندهای احیاء‌کننده می‌توانند تولید شوند. بنابراین هنگام پیش‌بینی تغییر غلظت قندهای احیاء‌کننده، هر دو مکانیسم بایستی در نظر گرفته شوند (Califano et al., 1983).

با توجه به مطالب مذکور تاکنون مطالعه‌ای در زمینه تأثیر تولید داخلی قندهای احیاء بر ضریب نفوذ مؤثر آن‌ها طی آنزیم‌بری انجام نشده است و مطالعه جامعی در ارتباط با سینتیک تغییرات بافت طی آنزیم‌بری خلال سیب‌زمینی در دماهای مختلف در دسترس نیست. بنابراین با توجه به موارد ذکر شده و همچنین ارتباط مستقیم قندهای احیاء‌کننده با واکنش قهوه‌ای شدن غیرآنزیمی و تشکیل آکریل آمید در سیب‌زمینی، اهداف تحقیق کنونی عبارتند از: 1) تعیین ضریب نفوذ مؤثر قندهای احیاء با و بدون در نظر گرفتن اثر تولید آن‌ها طی آنزیم‌بری خلال سیب‌زمینی در محدوده دمایی 90-50 درجه سانتی گراد و توسعه یک مدل سه‌بعدی انتقال جرم (قندهای احیاء) بر اساس حل قانون دوم فیک در نرم‌افزار MATLAB. 2) بررسی و مدل‌سازی

دهد (Kaymak et al., 1994). آنزیم‌بری در مراحل تولید خلال سیب‌زمینی سرخ شده معمولاً با حرارت دادن در آب یا بخار در محدوده دمایی 85-60 درجه سانتی‌گراد به مدت 40-20 دقیقه انجام می‌شود. دما و زمان دقیق آنزیم‌بری عمدتاً به‌وسیله میزان قندهای احیاء‌کننده و خصوصیات بافتی گونه مورد نظر تعیین می‌شود (Aguilar et al., 1997). طی یک دوره زمانی طولانی بافت به‌عنوان یک ویژگی کیفی کمکی برای سنجش مقبولیت مواد غذایی شناخته شده است. بافت ماده غذایی به‌عنوان خصوصیتی تعریف شده است که در آن اجزای ساختاری ماده غذایی بر اساس نشانه‌های خارجی دارای طیفی از ریز ساختار تا درشت ساختار طبقه‌بندی می‌شوند. روش‌های عمده ارزیابی بافت مواد غذایی بر اساس آزمون‌های مکانیکی بوده و آزمون نفوذسنجی به فراوانی جهت ارزیابی بافت مواد غذایی به‌کار می‌رود (Nisha et al., 2006). در دمای آنزیم‌بری نشاسته به‌طور جزئی ژلاتینه شده اما چسبندگی درون سلولی حفظ می‌شود (Aguilar et al., 1997). تفاوت اصلی در ظاهر بافت آنزیم‌بری شده در مقایسه با بافت پخته شده در این است که در آنزیم‌بری شکل اصلی سلول‌ها حفظ شده و حتی بعد از فرآیندهای بعدی نیز تغییر نمی‌کند. باید توجه داشت که آنزیم‌بری بیش از حد نیز باعث کاهش عمده در مواد مغذی، عطر و طعم، رنگ و بافت می‌شود. بنابراین تعیین دما و زمان آنزیم‌بری برای تولید محصولی با کیفیت مطلوب ضروری است (Richter Reis et al., 2007). دمای بالای آنزیم‌بری سبب آسیب‌های ساختاری و تقلیل بافت سبزیجات می‌گردد (Anderson et al., 1994). آنزیم‌بری در محدوده دمایی 75-55 درجه سانتی گراد باعث بهبود سفتی و استحکام بافت سبزیجات می‌شود و آسیب‌های فیزیکی و پوسته شدن طی فرایند را کاهش می‌دهد (Verlinden et al., 2000). بنابراین یک تیمار آنزیم‌بری شامل دمای پایین و زمان نسبتاً طولانی به دنبال دمای بالا و زمان کوتاه در به حداقل رساندن آسیب‌های بافتی سبزیجات و غیرفعال کردن آنزیم‌های نامطلوب مؤثرتر است (Pedreschi et al., 2009). برخی محققین شرایط بهینه جهت آنزیم‌بری سیب‌زمینی را در محدوده دمایی 65-60 درجه سانتی گراد به مدت 35-25 دقیقه به‌منظور حصول خصوصیات بافتی مطلوب ذکر کرده‌اند (Canet et al., 2005). جهت پیش‌بینی کاهش سفتی بافت طی فرآوری و نگهداری مواد غذایی، برآورد شاخص‌های سینتیکی شامل ثابت سرعت (k) و انرژی فعال‌سازی (E_a) ضروری است (Stoneham et al., 2000). توصیف تغییرات بافت سبزیجات طی فرآیندهای آنزیم‌بری و پخت عمدتاً از طریق سینتیک درجه اول و در نظر گرفتن یک یا دو فاز مجزای نرم شدن بافت (فاز ابتدایی سریع و متعاقباً فاز آهسته) انجام شده است (Rahardjo et al., 1993; Anzaldua et al., 2006; Maroles et al., 1996). مدل سینتیکی دیگری نیز بر اساس واکنش‌های شیمیایی برگشت‌ناپذیر جهت

انجام شد (Miller, 1959). مطابق با روش مذکور حدود 3 گرم نمونه خرد و همگن شده با 20 میلی‌لیتر اتانول 70% داغ به مدت 30 ثانیه ورتکس شد. پس از عبور دادن مخلوط از کاغذ صافی، محلول حاصله با آب مقطر به حجم 50 میلی‌لیتر رسیده و به مدت 10 دقیقه با سرعت 3000 دور در دقیقه سانتیفریژ شد. سپس جهت حذف کلیه ناخالصی‌های غیرقندی، محلول مورد نظر از فیلتر 0/45 میکرون عبور داده شد. 3 میلی‌لیتر از محلول صاف شده نهایی همراه با 3 میلی‌لیتر از محلول 1% دی نیترو سالیسیلیک اسید به درون لوله آزمایش انتقال یافت. نمونه شاهد (آب مقطر) و استانداردهای گلوکز (غلظت‌های 50، 100، 200 و 400 میلی‌گرم در لیتر گلوکز) نیز هر کدام به میزان 3 میلی‌لیتر همراه با 3 میلی‌لیتر محلول 1% دی نیترو سالیسیلیک اسید به لوله‌های مجزا انتقال داده شدند. لوله‌ها به مدت 15-10 دقیقه جهت انجام واکنش و پیدایش رنگ قرمز مایل به قهوه‌ای به حمام آب 90 درجه سانتی‌گراد انتقال داده شدند. پس از خروج لوله‌ها از حمام، به هریک از لوله‌ها 1 میلی‌لیتر از محلول 40% سدیم پتاسیم تارتارات (جهت پایداری کمپلکس رنگی) اضافه گردید و بلافاصله لوله‌ها با آب سرد تا دمای محیط خنک شده و جذب هر نمونه با استفاده از اسپکتروفتومتر (uv-1200, Unico، آمریکا) در طول موج 575 نانومتر تعیین گردید. پس از رسم منحنی کالیبره کردن (مقدار جذب به‌عنوان تابعی از غلظت) برای محلول‌های استاندارد و پیدا کردن معادله خط، با داشتن مقدار جذب نمونه، غلظت قندهای احیاء‌کننده در نمونه موردنظر تعیین شد.

ارزیابی بافت

ارزیابی بافت خلال‌ها در دمای اتاق و با استفاده از آزمون نفوذسنجی با پروب 2 میلی‌متری، سرعت نفوذ 120 میلی‌متر بر دقیقه و لودسل 50 کیلوگرم در دستگاه کشش و فشار (STM، STM-20، ایران) انجام شد. شاخص ارزیابی بافت حداکثر استرس ایجاد شده در اثر نفوذ پروب به درون بافت بود. (استرس = نیرو تقسیم بر سطح مقطع پروب).

مدل‌سازی انتقال جرم و تعیین ضریب نفوذ مؤثر قندهای احیاء‌کننده

جهت توصیف انتقال جرم (خروج قندهای احیاء) طی آنزیم‌بری خلال سیب‌زمینی از توسعه یک مدل سه بعدی در نرم‌افزار MATLAB (Version 7.14 R2012a) بر اساس حل قانون دوم فیک به روش تفاضل محدود استفاده شد. فرضیات مدل مذکور عبارتند از:

الف) شکل هندسی خلال سیب‌زمینی به صورت یک مکعب نیمه محدود می‌باشد (شکل 1).

سینتیک تغییرات بافت طی آنزیم‌بری خلال سیب‌زمینی در محدوده دمایی 90-50 درجه سانتی‌گراد. با توجه به اهمیت فرآیند آنزیم‌بری و لزوم انجام آن قبل از سرخ کردن سیب‌زمینی، شناخت و بررسی پدیده‌های درگیر در فرآیند مذکور امری ضروری به نظر می‌رسد.

مواد و روش‌ها

سیب‌زمینی با رقم آگریا (23% ماده خشک) به میزان 100 کیلوگرم از منطقه فریدن اصفهان خریداری و در سردخانه دانشکده کشاورزی در دمای 4 درجه سانتی‌گراد و رطوبت نسبی 90% نگهداری شد.

تهیه خلال‌های سیب‌زمینی و آنزیم‌بری

سیب‌زمینی‌ها قبل از مصرف به مدت 2 هفته در دمای 20 درجه سانتی‌گراد قرار داده شدند و پس از شستشو و پوست‌گیری توسط دستگاه خلال‌کن (Halldeh، RG-100، سوئد) به صورت خلال‌هایی با ابعاد $8 \times 0/8 \times 0/8$ سانتی‌متر برش داده شدند. خلال‌های سیب‌زمینی خام بلافاصله پس از برش به منظور حذف نشاسته سطحی به مدت 1 دقیقه در آب مقطر شستشو شده سپس آنزیم‌بری خلال‌ها در آب مقطر داغ (با نسبت وزنی سیب‌زمینی به آب 1 به 20) با دماهای 50، 60، 70، 80 و 90 درجه سانتی‌گراد صورت گرفت. جهت بررسی سینتیک تولید قندهای احیاء‌کننده طی آنزیم‌بری، خلال‌ها به صورت 2 تایی در بسته‌های پلی‌اتیلنی (HDPE با ضخامت 10 میکرون) بسته‌بندی شده و با غوطه‌وری در حمام آب در دماهای 50، 60، 70، 80 و 90 درجه سانتی‌گراد آنزیم‌بری شدند. نمونه‌های خلال سیب‌زمینی طی آنزیم‌بری در فواصل زمانی 5، 10، 15، 20، 40، 60، 80 و 100 دقیقه جهت اندازه‌گیری قندهای احیاء‌کننده، محتوای رطوبت و سفتی بافت از حمام آب خارج شدند.

تعیین رطوبت

برای اندازه‌گیری رطوبت، 5-3 گرم نمونه کاملاً خرد و همگن شده به مدت 24 ساعت در آون خالص (SSVO-502، Fine Tech، کره جنوبی) تحت فشار 100 میلی‌متر جیوه و دمای 70 درجه سانتی‌گراد خشک گردید. میزان رطوبت نمونه‌ها بر اساس معادله 1 محاسبه گردید (AOAC, 1984).

(1) $100 \times$ وزن اولیه نمونه / (وزن نهایی نمونه - وزن اولیه نمونه) = درصد رطوبت

قندهای احیاء‌کننده

اندازه‌گیری قندهای احیاء‌کننده به روش اسپکتروفتومتری با محلول 3 و 5- دی نیترو سالیسیلیک اسید در طول موج 575 نانومتر

نشان‌دهنده نصف بعدهای طول (z)، عرض (x) و ضخامت خلال (y) است و C_{RS} ، D_{RS} ، k_{RS} و w به ترتیب عبارتند از: غلظت قند احیاء باقیمانده در خلال (گرم در 100 گرم ماده خشک)، ضریب نفوذ مؤثر قند احیاء (m^2/s)، ضریب انتقال جرم قند احیاء در سطح ($1/77 \times 10^{-5} m/s$) (Califano *et al.*, 1983) و غلظت قند احیاء در آب آنزیم‌بری (گرم در 100 گرم).

استخراج ضریب نفوذ مؤثر قندهای احیاء کننده با استفاده از داده‌های آزمایشگاهی مربوط به خروج و تولید آن‌ها طی آنزیم‌بری و به روش معکوس (Gekas *et al.*, 2000) به ازای بهترین همپوشانی نتایج مدل با داده‌های آزمایشگاهی قند احیاء باقیمانده در خلال برای هر یک از دماهای آنزیم‌بری انجام گرفت. جهت وارد کردن اثر تولید قندهای احیاء در مدل مذکور، بجای غلظت قند احیاء باقیمانده در خلال از غلظت قند احیاء خالص باقیمانده در خلال (تفاضل غلظت قند احیاء تولید شده در خلال از غلظت قند احیاء باقیمانده در خلال) استفاده شد. جهت توصیف وابستگی دمایی ضریب نفوذ مؤثر قندهای احیاء از معادله آرنیوس استفاده گردید. (Pedreschi *et al.*, 2009):

$$D_{eff} = D_0 \exp(-E_a/RT) \quad (6)$$

در معادله 6 عبارات D_0 ، E_a ، R و T به ترتیب نشان‌دهنده ضریب نفوذ مؤثر قند احیاء در دمای T ، ثابت آرنیوس ($1/s$)، انرژی فعال‌سازی (kJ/mol)، ثابت جهانی گازها ($8/314 J/mol \cdot ^\circ K$) و دمای مطلق آنزیم‌بری ($^\circ K$) می‌باشد. اعتبارسنجی مدل بر مبنای مقایسه داده‌های آزمایشی و داده‌های مدل با استفاده از فاکتور ریشه میانگین مربعات خطا (RMSE%) انجام شد (Pedreschi *et al.*, 2009):

$$RMSE = \sqrt{\frac{1}{N} \sum_{i=1}^N \left(\frac{y_{exp} - y_{cal}}{y_{exp}} \right)^2} \quad (7)$$

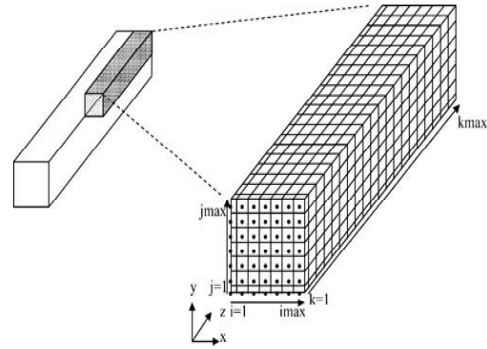
عبارات y_{cal} ، y_{exp} و N در معادله 7 به ترتیب نشان‌دهنده مقادیر آزمایشی، مقادیر پیش‌بینی شده و تعداد داده‌ها هستند.

مدل‌سازی سینتیکی تغییرات بافت طی آنزیم‌بری

جهت توصیف تغییرات بافت طی آنزیم‌بری خلال سیب‌زمینی از سینتیک درجه اول با اثر محدودکنندگی محصول (معادله 8) استفاده شد و وابستگی دمایی ثابت سرعت با استفاده از معادله آرنیوس (معادله 9) بررسی گردید (Toledo, 2007).

$$MS \text{ (Maximum Stress)} = \frac{MS_e}{1 - \exp(-kt - B)} \quad (8)$$

عبارات MS ، MS_e ، k ، B و t در معادله 8 به ترتیب عبارتند از: حداکثر استرس در زمان t (N/mm^2)، حداکثر استرس پس از 120



شکل 1- هندسه خلال سیب‌زمینی به صورت یک مکعب نیمه محدود (Gokmen *et al.*, 2008).

ب) غلظت قند احیاء در سرتاسر خلال سیب‌زمینی قبل از ورود آن به داخل آب داغ یکنواخت و برابر با مقدار ثابتی است.

ج) انتقال جرم در داخل خلال سیب‌زمینی به صورت سه بعدی انجام می‌شود.

د) تغییر حجم طی فرایند وجود ندارد.

ه) ضریب انتقال جرم در سطح ثابت و یکنواخت در نظر گرفته شده است.

برای توسعه مدل در حالت سه‌بعدی فرض شده است که به محض قرار گرفتن خلال سیب‌زمینی در آب داغ، تبادل جرم در سطح خلال رخ می‌دهد که شدت آن با توجه به ثابت بودن غلظت اجزاء در آب آنزیم‌بری عمدتاً توسط ضریب تبادل جرم قند احیاء (k_{RS}) کنترل می‌گردد. سپس به تبع تبادل جرم در سطح، نفوذ غیرپایدار قند احیاء طی آنزیم‌بری در داخل خلال رخ می‌دهد و قند احیاء از داخل خلال به طرف سطح آن نفوذ می‌کند. سیستم معادلات مورد استفاده برای توصیف انتقال جرم عبارت است از (Welti-changes *et al.*, 2003):

الف) معادله اصلی (قانون دوم فیک):

$$\frac{\partial C_{RS}}{\partial t} = D_{RS} \left[\frac{\partial}{\partial x} \left(\frac{\partial C_{RS}}{\partial x} \right) + \frac{\partial}{\partial y} \left(\frac{\partial C_{RS}}{\partial y} \right) + \frac{\partial}{\partial z} \left(\frac{\partial C_{RS}}{\partial z} \right) \right], t > 0, 0 < x, y, z < L \quad (2)$$

ب) شرایط مرزی در مرکز خلال:

$$\frac{\partial C_{RS}}{\partial x} = 0, \quad \frac{\partial C_{RS}}{\partial y} = 0, \quad \frac{\partial C_{RS}}{\partial z} = 0, \quad t > 0, \quad x = y = z = 0 \quad (3)$$

ج) شرایط مرزی در سطح خلال:

$$-D_{RS} \frac{\partial C_{RS}}{\partial i} = k_{RS} (C_{RS,p} - C_{RS,w}), \quad i = x, y, z, \quad t > 0, \quad x, y, z = L \quad (4)$$

د) شرایط اولیه:

$$C_{RS} = C_{RS_0}, \quad t = 0, \quad 0 \leq x, y, z \leq L \quad (5)$$

در معادلات 2 تا 5، t عبارت است از زمان آنزیم‌بری و L

سه تکرار انجام شدند. تحلیل آماری اثر دما بر ضرایب نفوذ و ثابت‌های سرعت بر اساس طرح کاملاً تصادفی صورت گرفت. تجزیه و تحلیل داده‌ها با استفاده از نرم‌افزار SAS (Statistical Analysis System, Version 9.1.3, Cary, NC, USA, 2005) و رسم نمودارها با نرم‌افزار Excel انجام شد. آزمون مقایسه میانگین داده‌ها به روش حداقل تفاوت معنی‌داری (LSD) و آزمون اثر متقابل تیمارها به روش LS means در سطح اطمینان 95% ($P < 0/05$) انجام گرفت.

نتایج و بحث

ضریب نفوذ مؤثر قندهای احیاءکننده

سینتیک خروج و تولید قندهای احیاءکننده طی آنزیم‌بری خلال سیب‌زمینی در محدوده دمایی $50-90^{\circ}\text{C}$ به ترتیب در شکل‌های 2 و 3 نشان داده شده است.

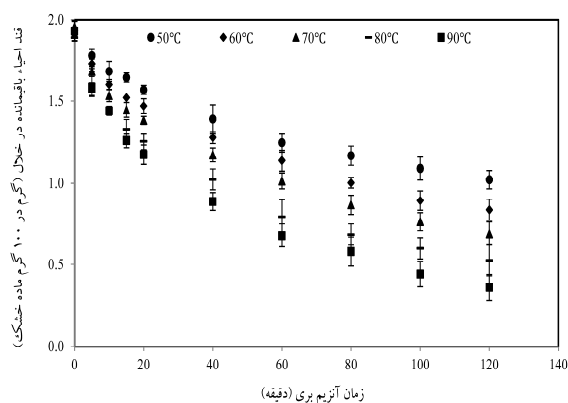
دقیقه آنزیم‌بری در دمای مربوطه، ثابت سرعت (1/s)، فاکتور بدون بعد و زمان آنزیم‌بری می‌باشند (بر اساس داده‌های آزمایشی، مقدار MS_e در دماهای 50، 60، 70، 80 و 90°C به ترتیب برابر با 0/3567، 0/2812، 0/1824، 0/0922 و $0/0305 \text{ N/mm}^2$ بود).

$$k = k_0 \exp(-E_a/RT) \quad (9)$$

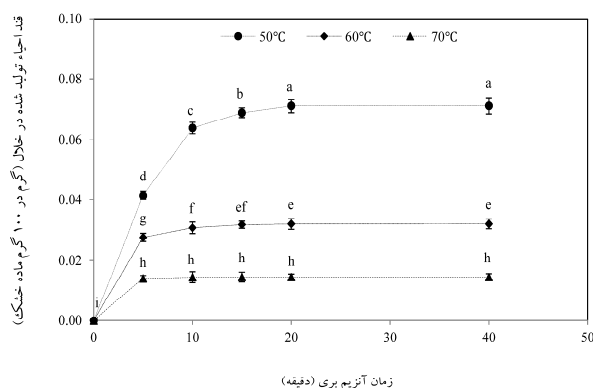
عبارات k ، k_0 ، E_a ، R و T در معادله 9 به ترتیب نشان‌دهنده ثابت سرعت در دمای T (1/s)، ثابت آرنیوس، انرژی فعال‌سازی (kJ/mol)، ثابت جهانی گازها ($8/314 \text{ J/mol} \cdot ^{\circ}\text{K}$) و دمای مطلق آنزیم‌بری ($^{\circ}\text{K}$) می‌باشند. اعتبارسنجی مدل پیشنهادی تغییرات بافت نیز (معادله 8) با استفاده از فاکتور ریشه میانگین مربعات خطا (معادله 7) صورت گرفت.

تجزیه و تحلیل آماری داده‌ها

کلیه آزمایشات به صورت فاکتوریل در قالب طرح کاملاً تصادفی با



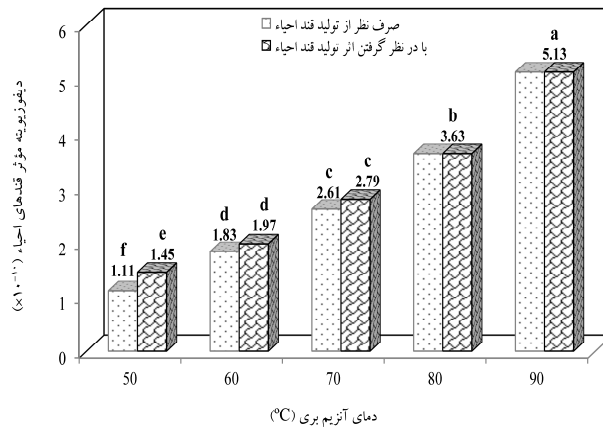
شکل 2- سینتیک خروج قندهای احیاء طی آنزیم‌بری خلال سیب‌زمینی در دماهای مختلف.



شکل 3- سینتیک تولید قندهای احیاء طی آنزیم‌بری خلال سیب‌زمینی در دماهای مختلف (حروف متفاوت نشان‌دهنده اختلاف معنی‌دار ($P < 0/05$) است).

تولید قندهای احیاء کاهش می‌یابد ($P < 0/05$) به طوری که در دماهای 80 و 90°C هیچ گونه تولید قند احیاء مشاهده نشد. گزارش شده است که طی آنزیم‌بری سیب‌زمینی در دماهای پایین‌تر از 75°C (احتمالاً در اثر هیدرولیز آنزیمی نشاسته) و در دماهای بالاتر (به علت تخریب کامل آنزیم اینورتاز)، به ترتیب تولید قندهای احیاء و ژلاتیناسیون نشاسته مکانیسم‌های غالب هستند (Califano *et al.*, 1983). ضریب نفوذ مؤثر قندهای احیاء‌کننده با و بدون در نظر گرفتن اثر تولید آن‌ها در شکل 4 نشان داده شده است. با توجه به شکل 4 افزایش دمای آنزیم‌بری به‌طور معنی‌دار ($P < 0/05$) سبب افزایش ضریب نفوذ مؤثر قندهای احیاء می‌شود.

با توجه به شکل 2، افزایش دما و زمان آنزیم‌بری به‌طور معنی‌دار ($P < 0/05$) سبب افزایش خروج قندهای احیاء از بافت خلال سیب‌زمینی می‌شود. سرعت خروج قندهای احیاء در ابتدای فرایند بیشتر است و به تدریج با افزایش زمان آنزیم‌بری کاهش می‌یابد. گزارش شده است که با افزایش دمای آنزیم‌بری سرعت استخراج قندهای احیاء از بافت ورقه‌های سیب‌زمینی افزایش می‌یابد و قسمت عمده قندهای احیاء طی 20 ثانیه اول فرایند از بافت ورقه‌های سیب‌زمینی وارد آب آنزیم‌بری می‌شوند و با ادامه فرایند به علت ژلاتیناسیون نشاسته سطحی سرعت خروج قندهای احیاء کاهش می‌یابد (Pedreschi *et al.*, 2009). تولید قندهای احیاء (شکل 3) با افزایش زمان آنزیم‌بری به‌طور معنی‌دار ($P < 0/05$) ابتدا افزایش می‌یابد و سپس ثابت می‌گردد. در دماهای بالاتر، مدت زمان و میزان



شکل 4- ضریب نفوذ مؤثر قندهای احیاء با و بدون در نظر گرفتن اثر تولید آن‌ها در دماهای مختلف (حروف متفاوت نشان‌دهنده اختلاف معنی‌دار ($P < 0/05$) است).

در نظر گرفتن اثر تولید قندهای احیاء نیز سبب کاهش (19/71%) معنی‌دار ($P < 0/05$) انرژی فعال‌سازی می‌گردد. انرژی فعال‌سازی معرف خوبی از مکانیسم غالب در فرایندهای نفوذ می‌باشد و محدوده آن برای نفوذ آبی در مواد غذایی نشاسته‌ای 17-43 kJ/mol ذکر شده است (Saravacos *et al.*, 2001). میزان انرژی مذکور برای نفوذ قندهای احیاء طی آنزیم‌بری (بدون در نظر گرفتن اثر تولید قند احیاء) خلال سیب‌زمینی در محدوده‌های دمایی 70-100°C (Kaymak *et al.*, 1994) و 60-70°C (Califano *et al.*, 1983) و برای ورقه‌های سیب‌زمینی در محدوده دمایی 60-90°C (Pedreschi *et al.*, 2009) به ترتیب برابر با 14/3، 41/8 و 4/3 kJ/mol گزارش شده است که به ترتیب کمتر، بیشتر و کمتر از مقدار به دست آمده در مطالعه حاضر (62/36 kJ/mol) می‌باشند. علت وابستگی دمایی ضعیف (انرژی فعال‌سازی پایین) ضریب نفوذ مؤثر قندهای احیاء در دماهای بالا (70-100°C) طی آنزیم‌بری خلال سیب‌زمینی، در ارتباط با ژلاتینه شدن نشاسته ذکر شده است (Kaymak *et al.*,

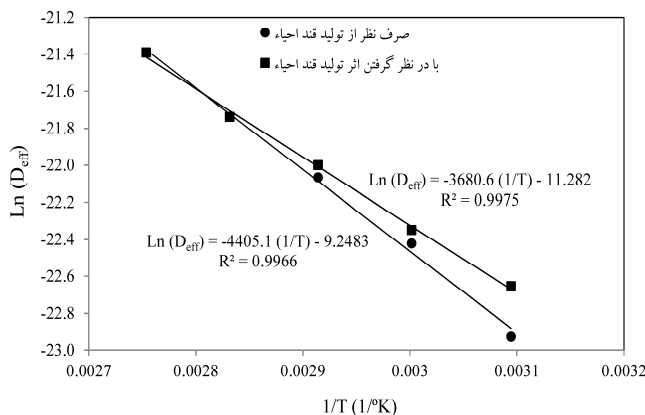
در نظر گرفتن اثر تولید قندهای احیاء نیز سبب افزایش ضریب نفوذ مؤثر آن‌ها (به ترتیب 30/63، 7/65 و 6/89% در دماهای 50، 60 و 70°C) شده است که این افزایش با توجه به میزان بالای تولید قند (3/54%) در دمای 50°C معنی‌دار ($P < 0/05$) است. مقادیر بدست آمده برای ضریب نفوذ مؤثر قندهای احیاء در این مطالعه بیشتر از مقادیر گزارش شده ($1/2-1/7 \times 10^{-11}$) برای آنزیم‌بری خلال سیب‌زمینی در محدوده دمایی 70-100°C (Kaymak *et al.*, 1994) است و در محدوده مقادیر گزارش شده ($2/9-5/5 \times 10^{-10}$) برای آنزیم‌بری ورقه سیب‌زمینی در محدوده دمایی 60-90°C قرار دارد (Pedreschi *et al.*, 2009). وابستگی دمایی ضریب نفوذ مؤثر قندهای احیاء مطابق با معادله آرنیوس، در شکل 5 نشان داده شده است.

بر اساس شکل 5، انرژی فعال‌سازی فرایند در دو حالت صرف نظر از تولید قند احیاء و در نظر گرفتن اثر تولید قند احیاء محاسبه گردید (به ترتیب 36/62 و 59/30 kJ/mol). نتایج نشان داد که در

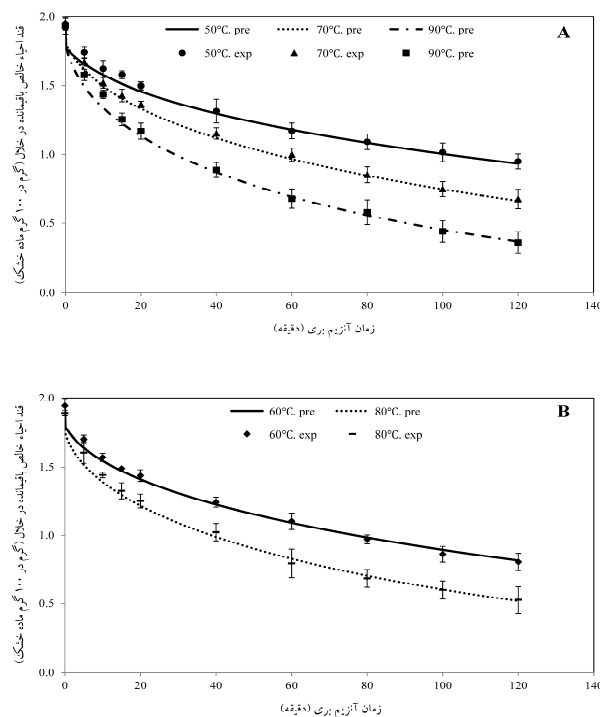
(1994).

نتایج حاصل از مدل عددی توسعه داده شده در شکل 6 نشان داده شده است. با توجه به شکل مذکور، مدل پیشنهادی با انطباق خوبی داده‌های آزمایشگاهی را پیش‌بینی نموده است. در اعتبارسنجی مدل عددی، مقادیر فاکتور ریشه میانگین مربعات خطا (RMSE%) در محدوده دمایی 50-90°C، 2/01 - 3/49 بدست آمد که کمتر از مقادیر گزارش شده (6/86 - 9/98) برای مدل یک بعدی در محدوده دمایی 60-90°C (Pedreschi *et al.*, 2009) است و نشان دهنده انطباق بالاتر مدل سه بعدی پیشنهادی با نتایج آزمایشگاهی است.

نتایج حاصل از تولید قند احیاء با در نظر گرفتن اثر تولید قند احیاء، فقط نظر از تولید قند احیاء



شکل 5- وابستگی دمایی ضریب نفوذ مؤثر قندهای احیاء بر اساس معادله آرنیوس.



شکل 6- مقادیر قند احیاء آزمایشگاهی (exp) و پیش‌بینی شده مدل (pre) طی آنزیم‌بری خلال سیب‌زمینی در دماهای 50، 70، 90 (A) و 60، 80°C (B).

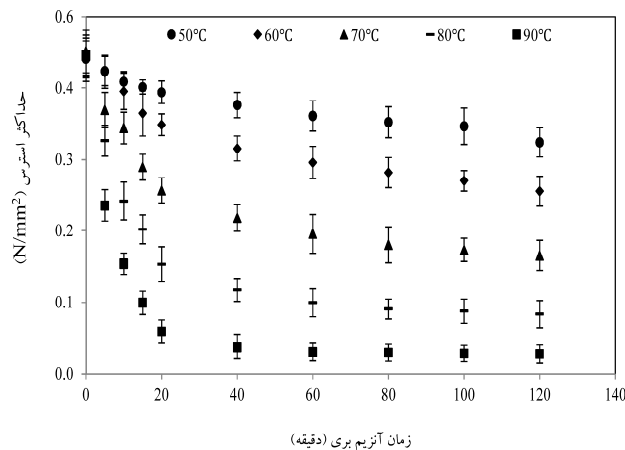
سینتیک تغییرات بافت طی آنزیم‌بری

دماهای مختلف در شکل 7 نشان داده شده است. با افزایش دما و زمان آنزیم‌بری (شکل 7)، با توجه به کاهش

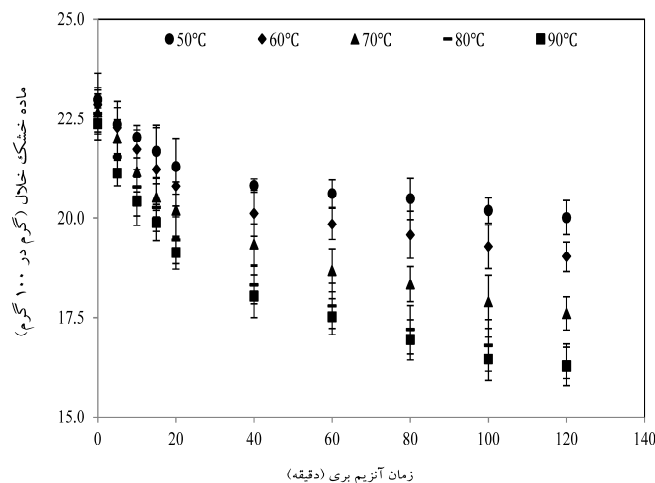
سینتیک تغییرات بافت خلال سیب‌زمینی طی آنزیم‌بری در

دماهای پایین (خصوصاً 50 °C) سفتی بافت نسبتاً حفظ شده و روند کاهش سفتی با سرعت کمتری نسبت به دماهای بالاتر صورت گرفته است.

معنی‌دار ($P < 0/05$) ماده خشک خلال (شکل 8)، سفتی بافت به‌طور معنی‌دار ($P < 0/05$) کاهش می‌یابد و کاهش سفتی در ابتدای فرایند دارای سرعت زیادی است که با گذشت زمان کاهش می‌یابد. در



شکل 7- سینتیک تغییرات بافت طی آنزیم‌بری خلال سیب‌زمینی در دماهای مختلف.



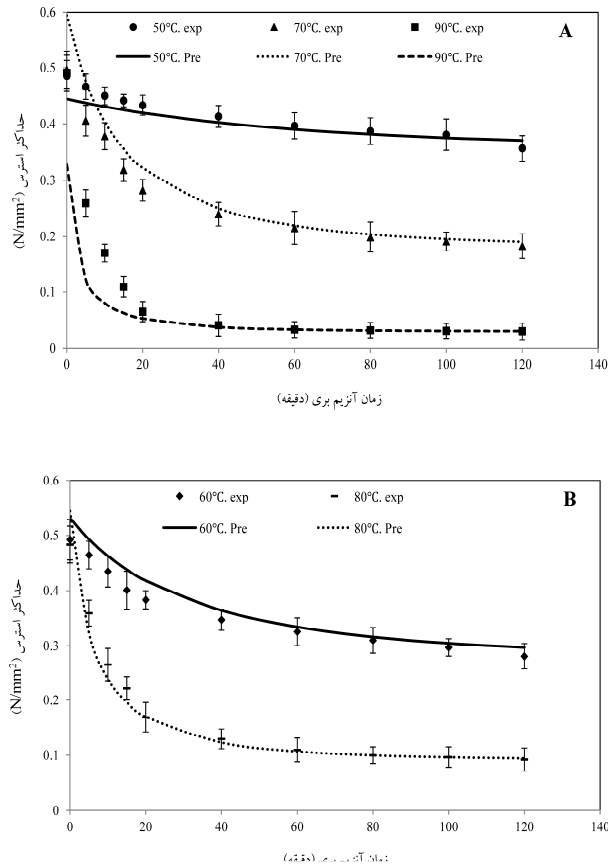
شکل 8- تغییرات ماده خشک طی آنزیم‌بری خلال سیب‌زمینی در دماهای مختلف.

(*et al.*, 1995). مدل سینتیک درجه اول با اثر محدود کنندگی محصول قابلیت انطباق بالایی (RMSE% برابر با 29/79-4/24 در محدوده دمایی 50-90°C) با داده‌های آزمایشگاهی تغییرات بافت طی آنزیم‌بری خلال سیب‌زمینی نشان داد (شکل 9).

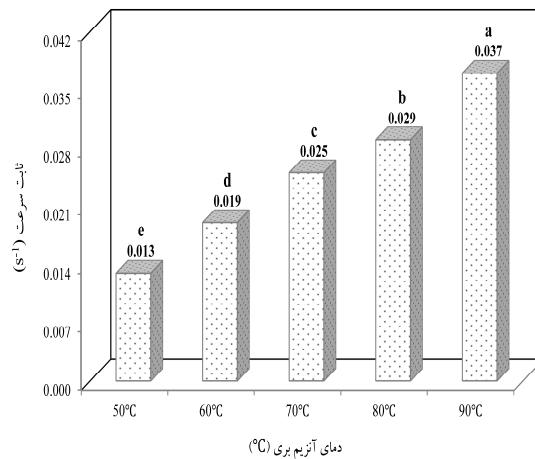
با توجه به شکل 10، افزایش دمای آنزیم‌بری به‌طور معنی‌دار ($P < 0/05$) سبب افزایش ثابت سرعت فرایند کاهش سفتی بافت خلال سیب‌زمینی می‌گردد. انرژی فعال‌سازی فرایند مذکور با به‌کارگیری معادله آرنیوس (شکل 11) در مورد ثابت‌های سرعت در محدوده دمایی 50-90 °C، 64/24 kJ/mol محاسبه گردید که بیشتر از مقدار گزارش شده (55/18 kJ/mol) بر اساس سینتیک درجه اول

مطابق با نتایج به‌دست آمده در این مطالعه، گزارش شده است که آنزیم‌بری در محدوده دمایی 50-100°C به علت تجزیه پلی‌ساکاریدهای دیواره سلولی و ژلاتیناسیون نشاسته سبب کاهش سفتی بافت قطعات مکعبی سیب‌زمینی می‌گردد (Moyano *et al.*, 2007). همچنین در تضاد با نتایج مذکور، گزارش شده است که در محدوده دمایی 50-70°C فعالیت آنزیم پکتین‌متیل‌استراز رو به افزایش می‌گذارد و سبب استرزدایی پکتین موجود در دیواره سلولی می‌گردد. پکتین استرزدایی شده با یون‌های دو ظرفیتی کلسیم موجود در بافت سیب‌زمینی واکنش داده و با تشکیل پکتات کلسیم سبب افزایش سفتی بافت می‌گردد (Bartolome *et al.*, 1972; Stanly).

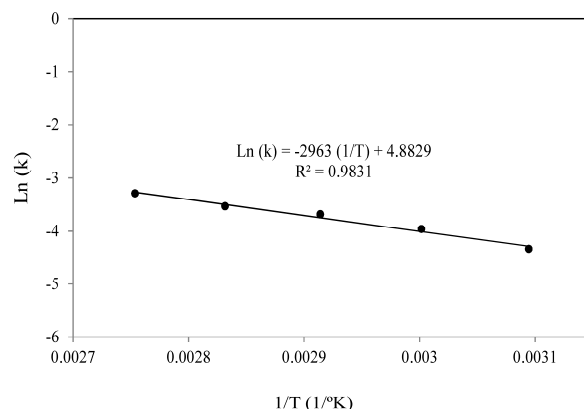
برای آنزیم‌بری قطعات مکعبی سیب زمینی در محدوده دمایی 50-100°C (Nisha et al., 2006) است.



شکل 9- تغییرات بافت آزمایشگاهی (exp) و پیش بینی شده مدل (pre) طی آنزیم‌بری خلال سیب زمینی در دماهای 50، 70، 90 (A) و 60 و 80°C (B).



شکل 10- ثابت سرعت فرایند کاهش سفتی بافت خلال سیب زمینی طی آنزیم‌بری در دماهای مختلف (حروف متفاوت نشان دهنده اختلاف معنی‌دار (P<0/05) است).



شکل 11- وابستگی دمایی ثابت سرعت فرایند کاهش سفتی بافت بر اساس معادله آرنیوس.

3) در نظر گرفتن اثر تولید قندهای احیاء به‌طور معنی‌دار ($P < 0/05$) سبب افزایش ضریب نفوذ مؤثر آن‌ها و کاهش انرژی فعال‌سازی فرایند می‌گردد، بنابراین هنگام بررسی ضریب نفوذ مؤثر قندهای احیاء بایستی هر دو مکانیسم خروج و تولید آن‌ها در نظر گرفته شود.

4) مدل سه بعدی توسعه داده شده قابلیت انطباق بالایی با نتایج آزمایشگاهی قندهای احیاء نشان داد.

5) افزایش دما و زمان آنزیم‌بری به‌طور معنی‌دار ($P < 0/05$) سبب کاهش ماده خشک و سفتی بافت می‌گردد.

6) برای توصیف تغییرات بافت طی آنزیم‌بری خلال سیب‌زمینی می‌توان از مدل سینتیکی درجه اول با اثر محدودکنندگی محصول استفاده نمود.

کمتر بودن مقادیر فاکتور RMSE % بدست آمده در این مطالعه نسبت به مقادیر گزارش شده (44 - 6/2) برای توصیف تغییرات بافت قطعات مکعبی سیب زمینی طی آنزیم‌بری با استفاده از سینتیک درجه اول (Nisha et al., 2006)، حاکی از انطباق بالاتر سینتیک درجه اول با اثر محدودکنندگی محصول با نتایج آزمایشگاهی است.

نتیجه‌گیری

در این مطالعه، ضریب نفوذ مؤثر قندهای احیاء‌کننده و سینتیک تغییرات بافت خلال سیب‌زمینی طی آنزیم‌بری در آب داغ مورد بررسی قرار گرفت. نتایج بررسی‌ها نشان داد که:

1) طی آنزیم‌بری، در کنار نفوذ قندهای احیاء به داخل آب آنزیم‌بری تولید آن‌ها نیز در داخل بافت صورت می‌گیرد.

2) افزایش دمای آنزیم‌بری به‌طور معنی‌دار ($P < 0/05$) سبب افزایش ضریب نفوذ مؤثر قندهای احیاء می‌گردد.

منابع

- Aguilar, C., A, Anzaldua., R, Talamas., and G, Gastelom. 1997. Low- temperature blanch improves textural quality of French fries. *Journal of Food Science*. 62 (3): 568-571.
- Anderson, A., V, Gekas., and I, Lind. 1994. Effect of preheating on potato texture. *Journal of Food Science and Nutrition*. 34: 229-251.
- Anzaldua-Morales, A., A, Quintero., and R, Baladran. 1996. Kinetics of thermal softening of six legumes during cooking. *Journal of Food Science*. 61 (1): 167-170.
- AOAC. 1984. Association Official Analytical Chemists. The official methods of analysis. Method 28.074. Arlington. VA: AOAC.
- Bartolome, L.G., and G.E, Hoff. 1972. Firming of potatoes: biochemical effect of preheating. *Agricultural and Food Chemistry*. 20: 266-270.
- Bingol, G., B, Wang., A, Zang., Z, Pan., and T.H.M, Hugh. 2014. Comparison of water and infrared blanching methods for processing performance and final product quality of French fries. *Journal of Food Engineering*. 121: 135-142.
- Califano, A.N., and A, Calvelo. 1983. Heat and mass transfer during the warm water blanching of potatoes. *Journal of Food Science*. 48: 220-225.
- Canet, W., M.D, Alvarez., and C, Fernandez. 2005. Optimization of low-temperature blanching for retention of potato firmness: effect of previous storage time on compression properties. *European Food Research and Technology*. 221:

- 423-433.
- Garrote, R.L., R.A. Bertone., and E.R. Silva. 1984. Effect of soaking-blanching conditions on glucose losses in potato slices. *Journal of Canadian Institute of Food Science and Technology*. 17: 111-113.
- Gekas, V., A. Danae Doulia., and K. Tzia. 2000. Aknowledge base for the apparent mass diffusion coefficient (DEFE) of foods. *International Journal of Food Properties*. 3: 1-14.
- Gokmen, V., and T.K. Palazoglu. 2008. Acrylamide Formation in Foods during Thermal Processing with a Focus on Frying. *Food Bioprocess Technology*. 1: 35-42.
- Goncalves, E.M., J. Pinheiro., M. Abreu., T.R.S. Brandao., and C.L.M. Silva. 2010. Carrot (*Daucus carota* L.) peroxidase inactivation, phenolic content and physical changes kinetics due to blanching. *Journal of Food Engineering*. 97: 574-581.
- Kaymak, F., and N. Suzan Kincal. 1994. Apparent diffusivities of reducing sugars in potato strips blanched in water. *International Journal of Food Science and technology*. 29: 63-70.
- Miller, G. 1959. Use of dinitrosalicylic acid reagent for determination of reducing Sugar. *Analitical Chemistry*. 31: 426-428.
- Mottram, D.S., and B.L. Wedzicha. 2002. Acrylamide is formed in the Maillard reaction. *Nature*. 419: 448-449.
- Moyano, P., E. Troncoso., and F. Pedreschi. 2007. Modeling texture kinetics during thermal processing of potato products. *Journal of Food Science*. 72: 102-107.
- Moyano, P.C., E. Troncoso., and F. Pedreschi. 2007. Texture Kinetics during Thermal Processing of Potato Products. *Journal of Food science*. 72: 102-107.
- Nisha, P., R.S. Singhal., and A.B. Pandit. 2006. Kinetic modeling of texture development in potato cubes (*Solanum tuberosum*), green gram whole (*Vigna radiate* L.). *Journal of Food Engineering*. 76: 524-530.
- Pedreschi, F., K. Kaack., and K. Granby. 2004. Reduction of acrylamide formation in potato slices during frying. *Lebensmittel-Wissenschaft and Technology*. 37: 679-685.
- Pedreschi, F., X. Travisany., C.R.E. Troncoso., and R. Pedreschi. 2009. Kinetics of extraction of reducing sugar during blanching of potato slices. *Journal of Food Engineering*. 91: 443-447.
- Rahardjo, B., and S.K. Sastry. 1993. Kinetics of softening of foods. *Journal of Food Processing and Preservation*. 10: 311-329.
- Richter Reis, F., M. Masson., and N. Waszezynskyj. 2007. Influence of blanching pretreatment on color oil uptake and water activity of potato sticks and its optimization. *Journal of Food Process Engineering*. 31: 833-852.
- Sanny, M., S. Jinap., E.J. Bakker., M.A.J.S. Van Boekel., and P.A. Luning. 2012. Is lowering reducing sugars concentration in French fries an effective measure to reduce acrylamide concentration in food service establishments?. *Journal of Food Chemistry*. 135: 2012-2020.
- Saravacos, G.D., and Z.B. Maroulis. 2001. Transport Properties of Foods. *Drying Technology*. New York. 19 (9): 2383-2384.
- Stadler, R.H., I. Blank., N. Varga., F. Robert., J. Hau., A. Guy., P. Robert., and M.C. Riediker. 2002. Acrylamide from Maillard reaction products. *Nature*. 419: 449-450.
- Stanly, D.W., M.C. Bourne., and A.P. Stone. 1995. Low temperature blanching effects on chemistry, firmness and structure of canned green beans and carrots. *Journal of Food Science*. 6: 327-333.
- Stoneham, T.R., D.B. Lund., and C.H. Tong. 2000. The Use of Fractional Conversion Technique to Investigate the Effects of Testing Parameters on Texture Degradation Kinetics. *Journal of Food Engineering and Physical Properties*. 65 (6): 968-973.
- Toledo, R.T. 2007. *Fundamental of Food Process Engineering*. 3rd de. Springer. (Athens). 8: 285-295.
- Van Loon, W.A.M., J.P.H. Linssen., A. Legger., M.A. Posthumus., and A.G.J. Voragen. 2005. Identification and olfactometry of French fries flavour extracted at mouth conditions. *Journal of Food Chemistry*. 90: 417-425.
- Verlinden, B., D. Yuksel., M. Baheri., J. De Baerdemaeker., and C. Van Dijik. 2000. Low temperature blanching effect on the changes in mechanical properties during subsequent cooking of three potato cultivars. *International Journal of Food Science and Technology*. 35: 331-333.
- Welti-changes, J., F. Valez Ruiz., and G.V. Boarbosa-Canovas. 2003. Transport phenomena in Food processing. CRC press LLC. (Florida). 1: 18-38.
- Zhiqiang Liu, E., and M. Scanlon. 2007. Modeling the Effect of Blanching Conditions on the Texture of Potato Strips. *Journal of Food Engineering*. 81: 292-297.



Reducing sugars effective diffusivity and kinetic of texture changes during blanching of potato strips in hot water

H. Beyki¹, N. Hamdami^{*2}, J. Pourtaghi³

Received: 2016.02.03

Accepted: 2016.04.23

Introduction: Heat treatment of potato tissue involves chemical, physical and structural changes. The magnitude of these changes will depend on the extent of thermal processing in terms of time and temperature. Blanching is a heating process that used to inactivate enzymes, de-aeration and modification of texture, preserving color, flavor and nutritional value of fruits and vegetables prior to freezing, canning, drying and frying. Temperature and time of blanching is largely determined by the amount of reducing sugars and textural characteristics of the species. In the previous studies performed on the changes of reducing sugars content in potatoes during blanching, some researchers found evidence that besides the mass transfer to the bath there exists an internal generation of reducing sugars, probably due to an enzymatic hydrolysis of starch. Therefore when predicting the concentration of reducing sugars changes, both mechanisms should be considered. Considering that no study has been done on the effect of internal generation of reducing sugars on their effective diffusivity during blanching and so far there is no comprehensive study on the kinetic of texture changes during blanching of potato at different temperatures and also direct relationship of reducing sugars with Maillard reaction and acrylamide formation in potato, therefore the aims of this study are: 1) determination of effective diffusivity of reducing sugars with and without consideration of them generation and 2) investigation of kinetic of texture changes during blanching of potato strips at the temperature range of 50-90 °C and modeling of these phenomena.

Materials and methods: Potatoes (variety Agria, ~23 g/100g (dry basis)) was the raw material used in this study. Potatoes stored in a dark room at 20 °C for 2 weeks were washed and peeled. Then, were striped into dimensions of 0.8×0.8×8 cm using an electric striping machine (Haldeh, model RG-100). Raw potato strips were rinsed immediately after cutting for 1 min in distilled water to eliminate the starch material adhering to the surface prior to blanching. Then, blanching was accomplished by immersing the potato strips in hot distilled water (ratio of mass of potato to water of 1:20) at 50, 60, 70, 80 and 90 °C. To investigate the kinetic of generation of reducing sugars, strips packaged in duplex in the polyethylene (HDPE with 10 micron thickness) film were immersed in hot distilled water to blanching at the temperatures. Samples were withdrawn after 5, 10, 15, 20, 40, 60, 80, 100 and 120 minutes to measure the reducing sugars content and texture firmness. All experiments were done in triplicate. Maximum stress caused by penetrating of the probe (diameter of 2 mm) into strip texture was the texture evaluation index. To describe the mass transfer (extraction of reducing sugar) during blanching, a three dimensional numerical model based on finite difference method of solving Fick's Second Law has been developed in MATLAB software. The first order kinetic with production rate limiting effect was used to describe the potato strips texture changes during blanching. All experiments were done in triplicate as factorial based on completely randomized design. Data analysis and plotting of figures were performed in SAS and Excel software respectively.

Results and Discussion: The results showed that increasing of blanching temperature increase the reducing sugars effective diffusion coefficient significantly ($P<0.05$). Considering the effect of reducing sugars generation was led to increase of them effective diffusion coefficient significantly ($P<0.05$) which maximum increase (30.63%) was observed at 50 °C. Final effective diffusion coefficient of reducing sugars during blanching of potato strips at temperature between 50 and 90 °C were within the range of $1.45\text{-}5.13\times 10^{-10}$ m²/s and activation

1. MSc of Food Engineering, Department of Food Science and Technology, Faculty of Agriculture, Isfahan University of Technology, Isfahan, Iran.

2. Associate Professor, Department of Food Science and Technology, Faculty of Agriculture, Isfahan University of Technology, Isfahan, Iran.

3. Bachelor of Food Science and Technology, Department of Food Science and Technology, Ferdowsi University of Mashhad, Khorasan Razavi, Iran.

(*-Corresponding Author Email: hamdami@cc.iut.ac.ir)

energy for this process was calculated 30.59 kJ/mol. Increasing time and temperature of blanching on the other side was led to decreasing potato strips firmness and dry matter content significantly ($P<0.05$). The numerical model was showed high conformity ($2.01<\%RMSE<3.49$ at the temperature range of 50-90 °C) with experimental data of reducing sugars extraction. The first order kinetic with production rate limiting effect was predicted the experimental data of decreasing of strips firmness with high conformity ($6.2<\%RMSE<44$ at the temperature range of 50-90 °C).

Conclusion: in this study the effect of internal generation of reducing sugars on them effective diffusion coefficient and also kinetic of texture changes during blanching of potato strips at the temperature range of 50-90 °C were investigated. The results showed that increasing of blanching temperature: 1) increase the reducing sugars effective diffusion coefficient significantly ($P<0.05$). 2) Decrease the potato strips firmness and dry matter content significantly ($P<0.05$). Internal generation of reducing sugars during blanching was led to increase of them effective diffusion coefficient. The results also showed that the three dimensional numerical model can be used to describe the kinetic of extraction of reducing sugars during blanching of potato strips. The first order kinetic with production rate limiting effect was showed the best conformity with experimental data of texture changes during blanching of potato strips.

Keywords: Diffusion coefficient, Reducing sugar generation, Texture firmness, Numerical model, Kinetic model.